

PIRAMIDE REALE

fig. 8 SEZIONE E-W DELLA BARCA MERIDIONALE EST

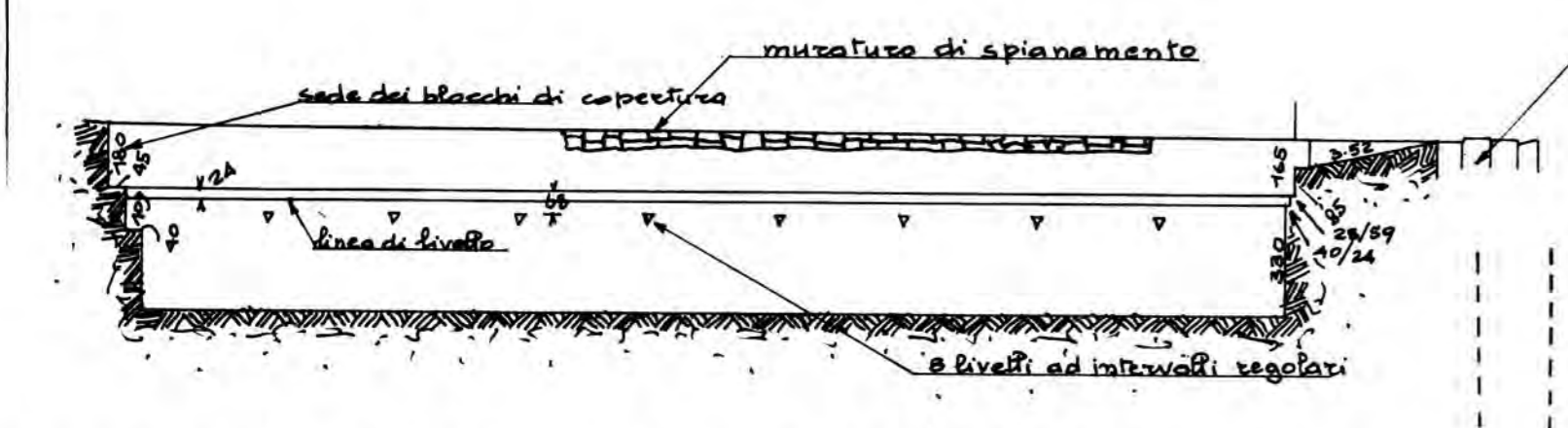
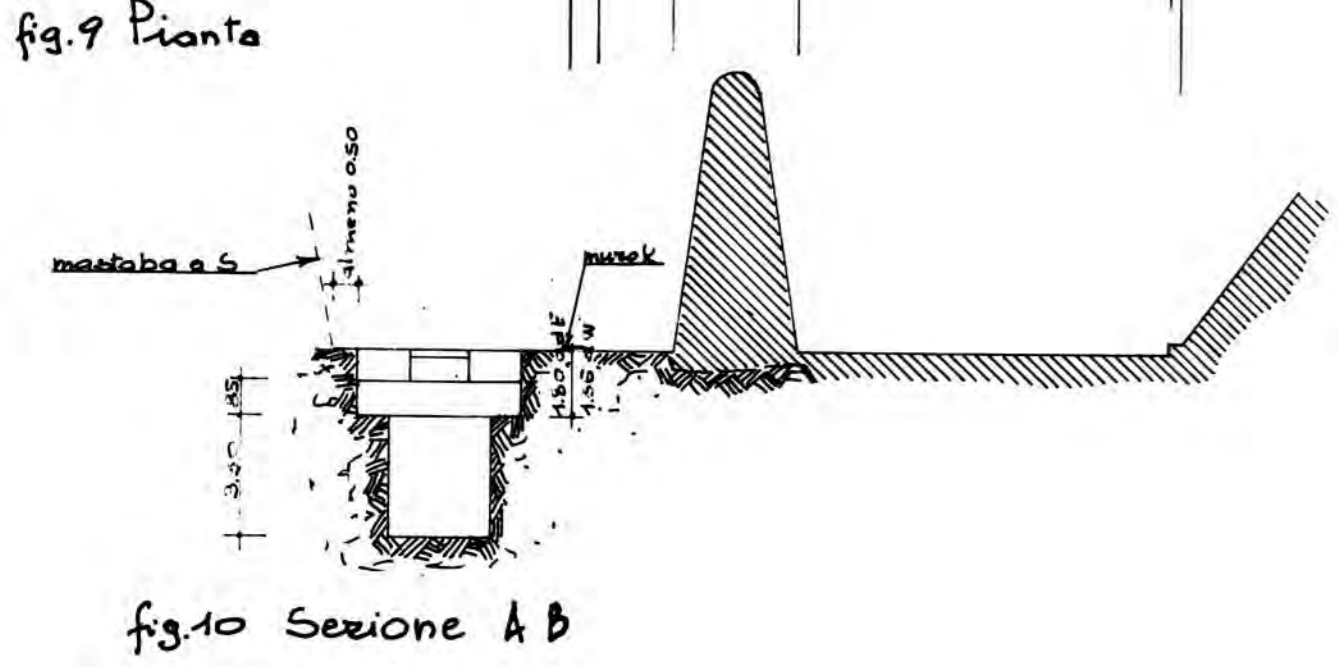
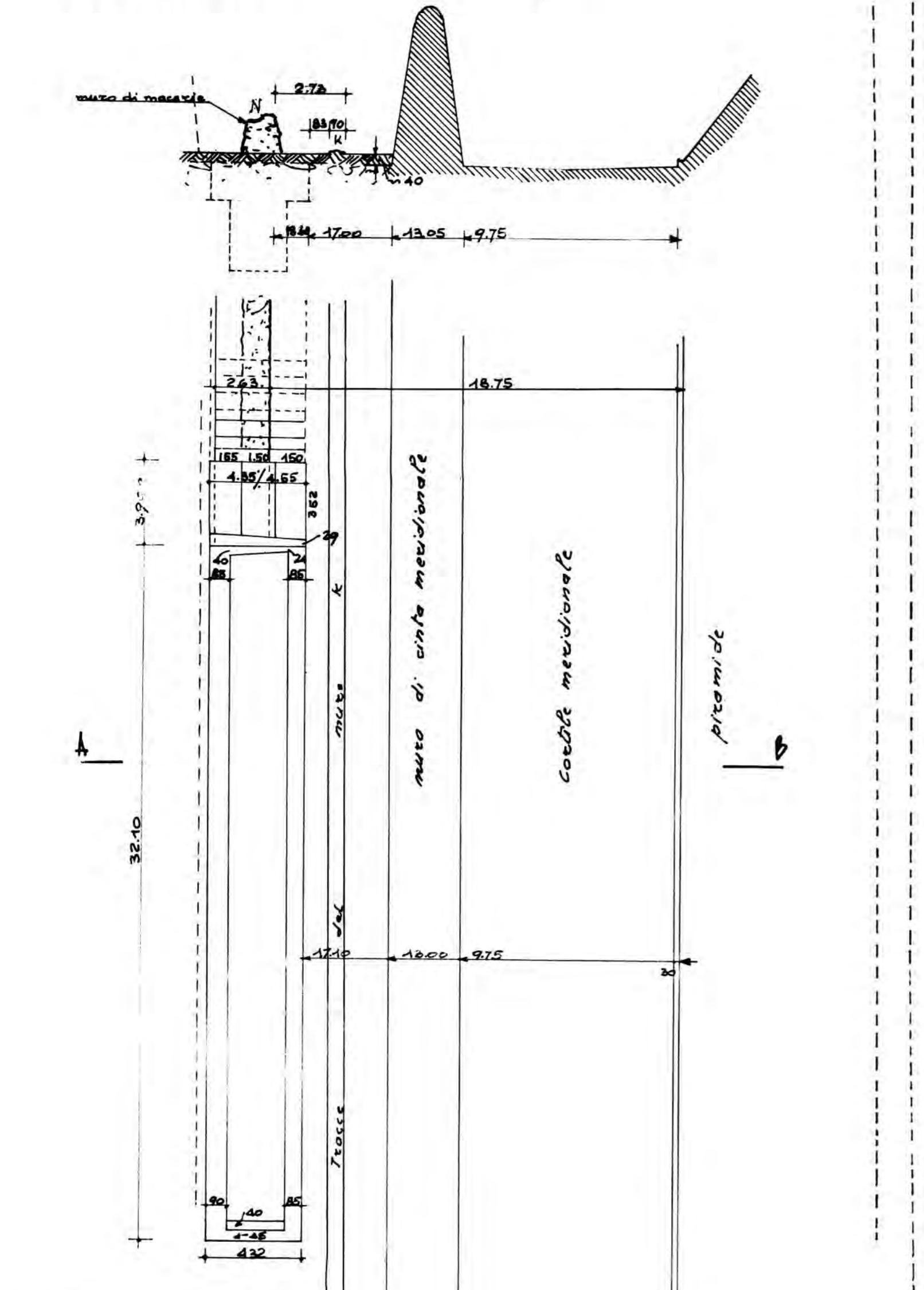


fig. 11 SEZIONE J-M DEL CORTILE MERIDIONALE A W DELLE BARCHE



BARCA ORIENTALE NEL CORTILE SUD

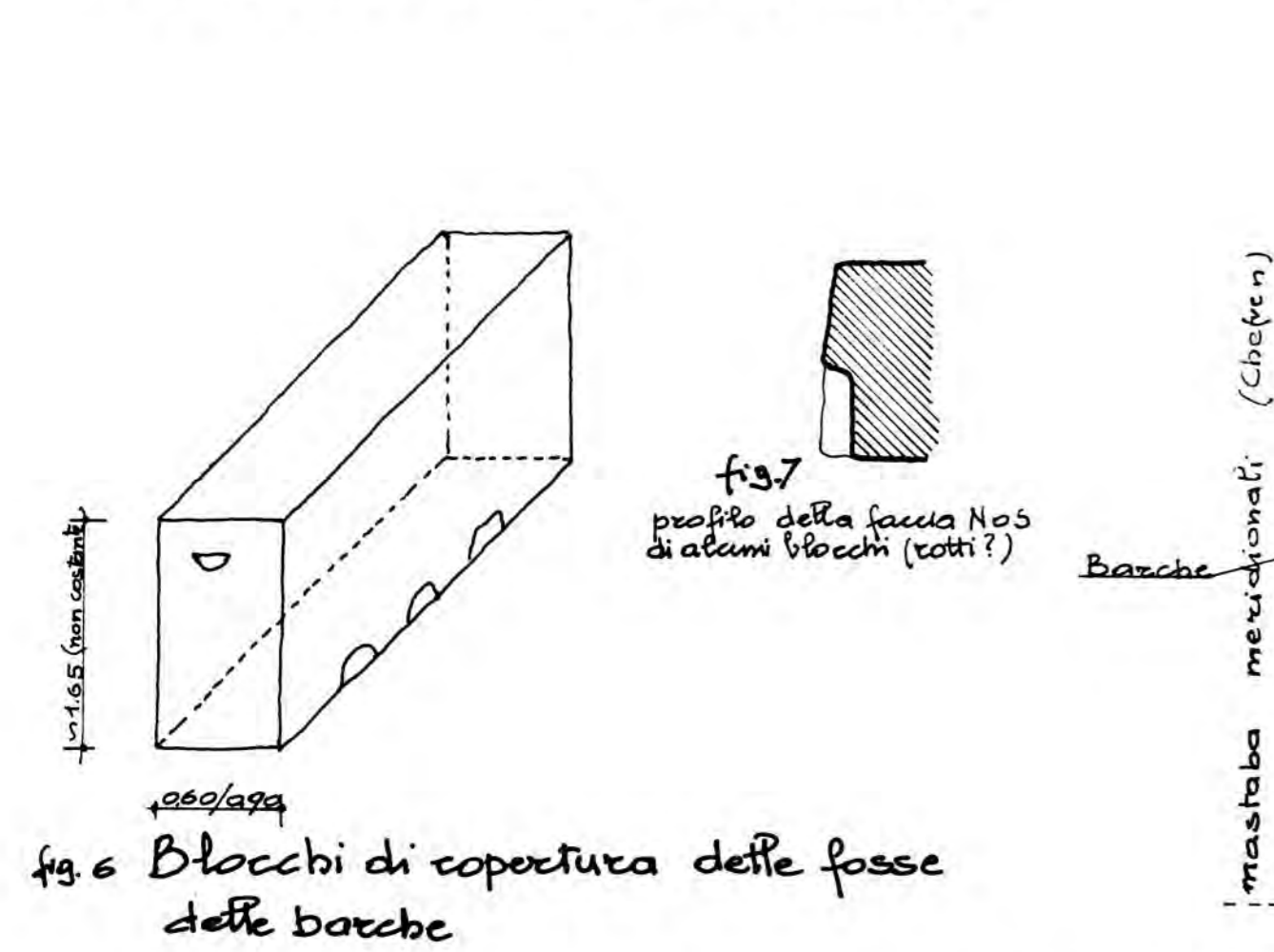


fig. 1 PLANIMETRIA GENERALE DELLA PIRAMIDE E DEI CIMITERI ANNESSI
 Sono indicati solo i mastaba dell'epoca di Cheope (Reina, Giza)

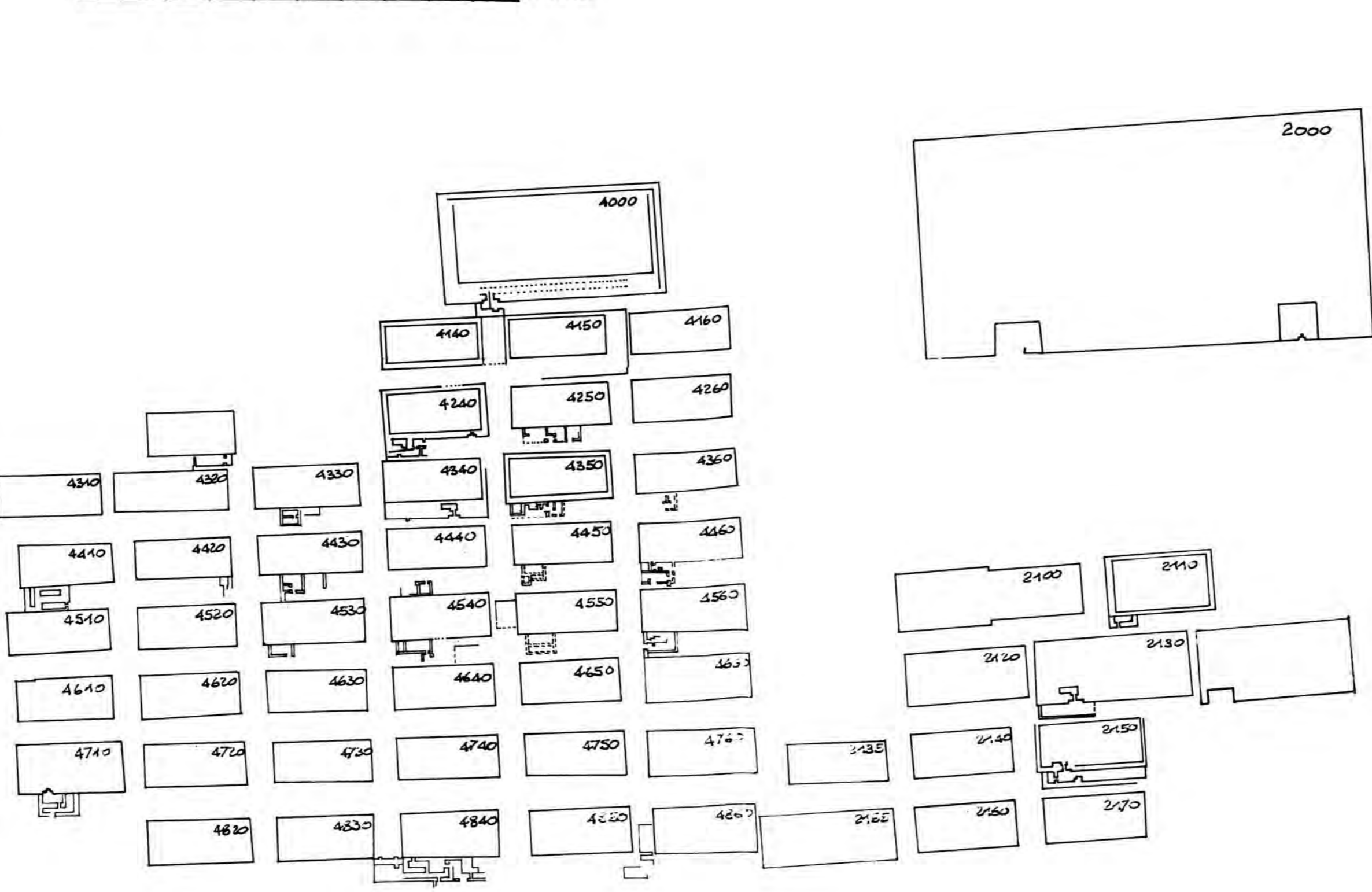
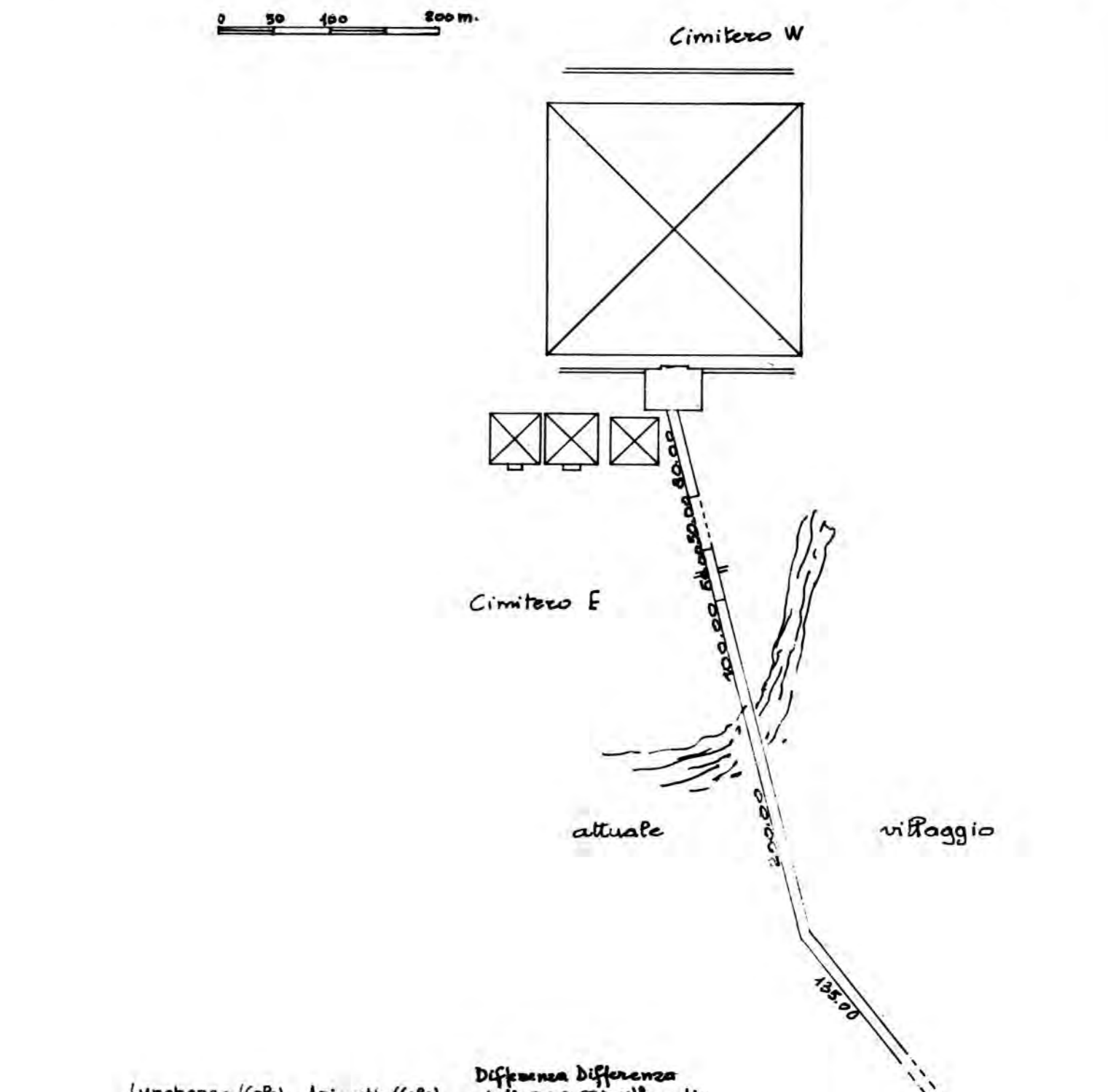


fig. 2 DAMPA ALLA PIRAMIDE
 in base ai resti sull'altipiano ed ai rilievi di Flourey e di Lepsius



Lato	Longhezza (cm)	Aziimuth (gr)	Differenza differenza del 2° azimut medio
N	250.253	89° 57' 32"	-2' 28"
E	250.999	35° 54' 30"	-3' 30"
S	250.458	35° 58' 3"	-4' 57"
W	250.337	35° 57' 30"	-2' 30"
media	250.384		
Diagonale NE-SW	325.699	44° 56' 45"	-3' 15"
Diagonale NW-SE	325.867	34° 57' 3"	-2' 57"
Media	250.374	35° 58'	-4'
EW	250.354	85° 57' 48"	-2' 42"
media	250.364		

Differenza azimut medio Cole -5'6"
 Petrie -3'45"

fig. 12 PIATTAFORMA SUPERIORE (da Petrie)

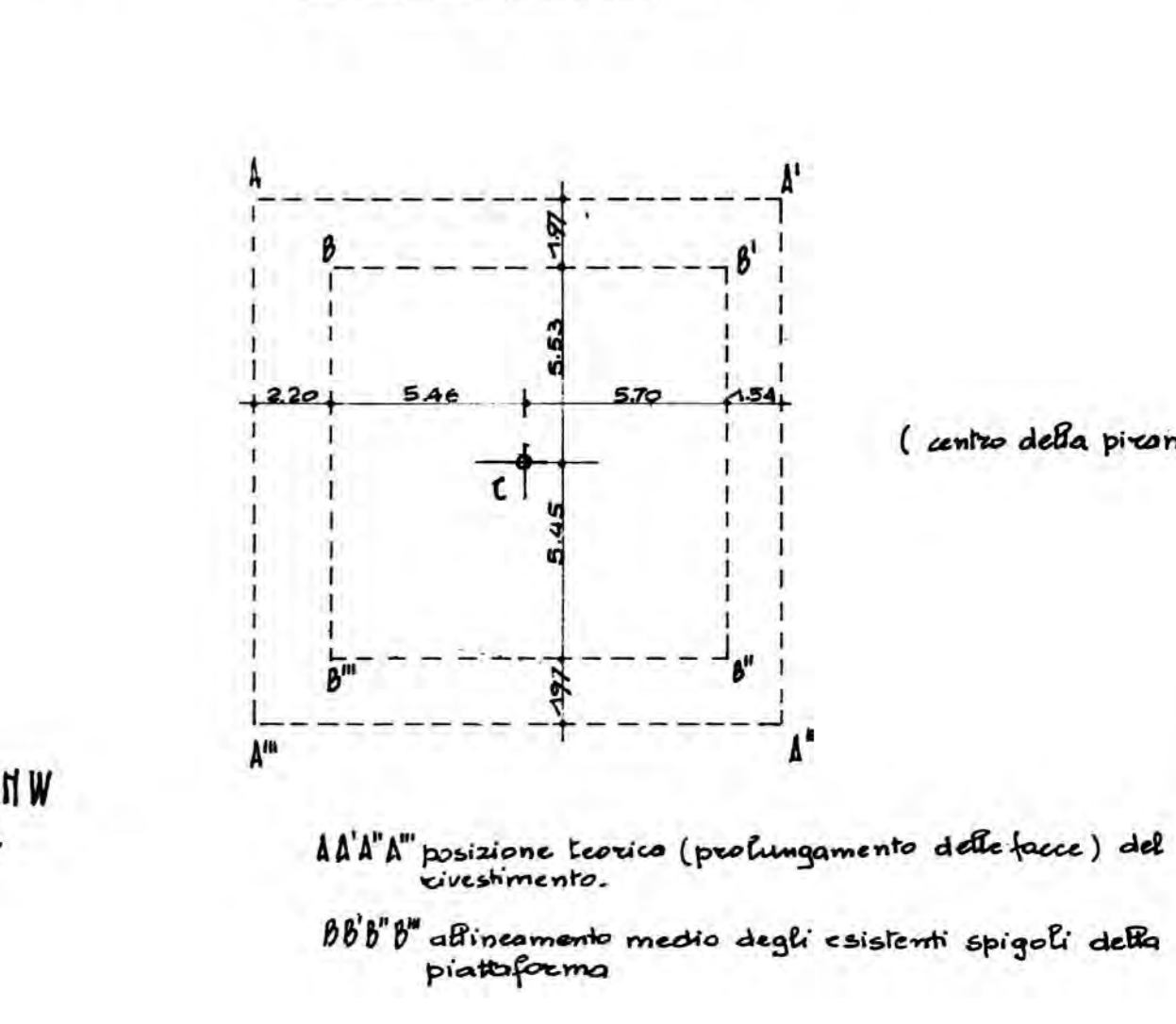


fig. 5 MURO DI CINTA ANGOLO NW
 resti del blocco terminale

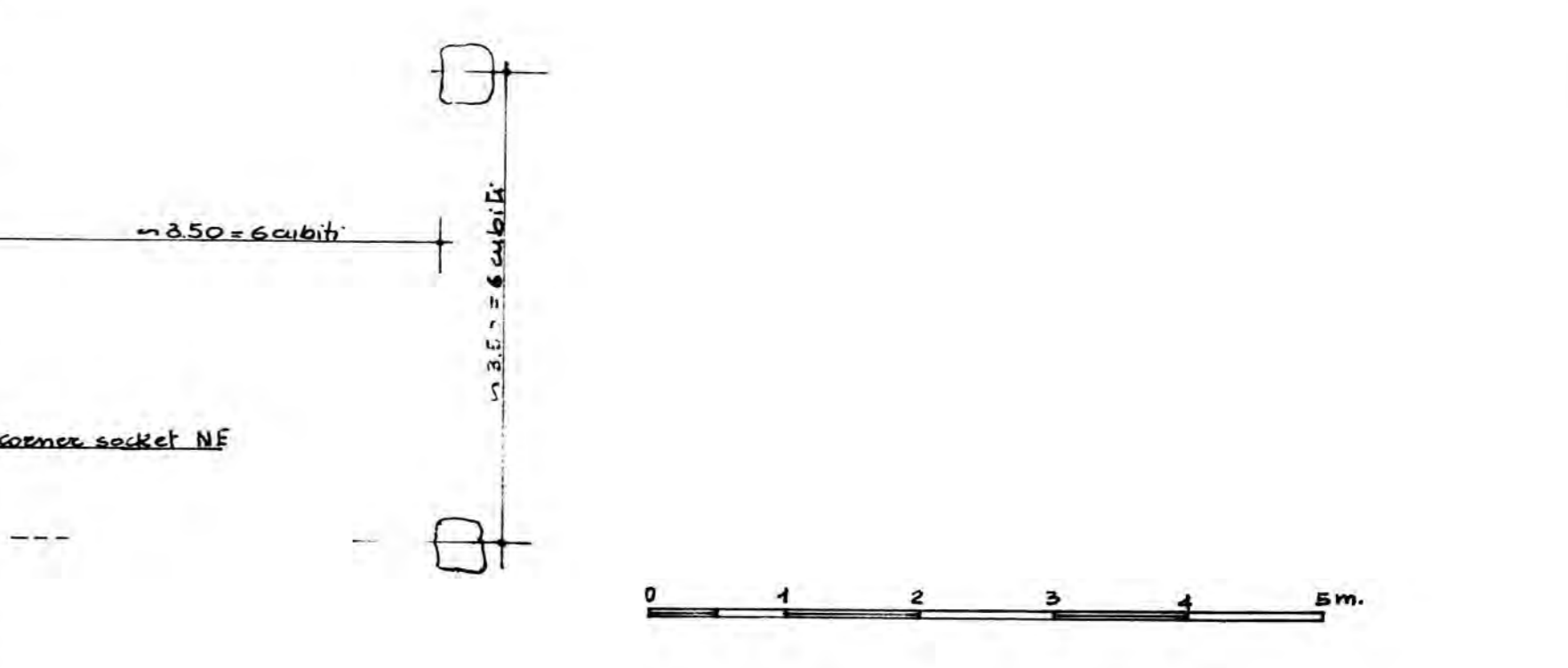
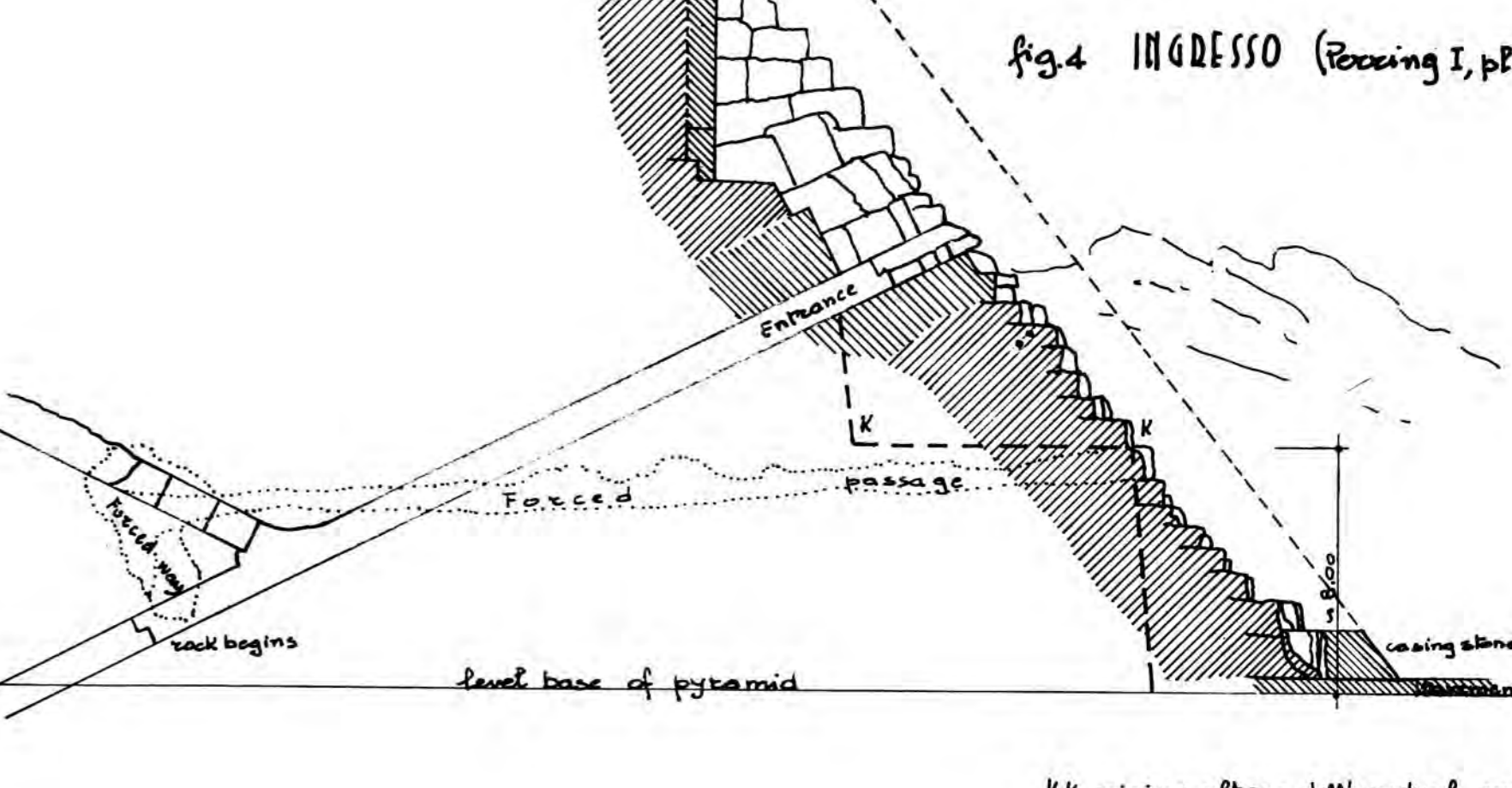
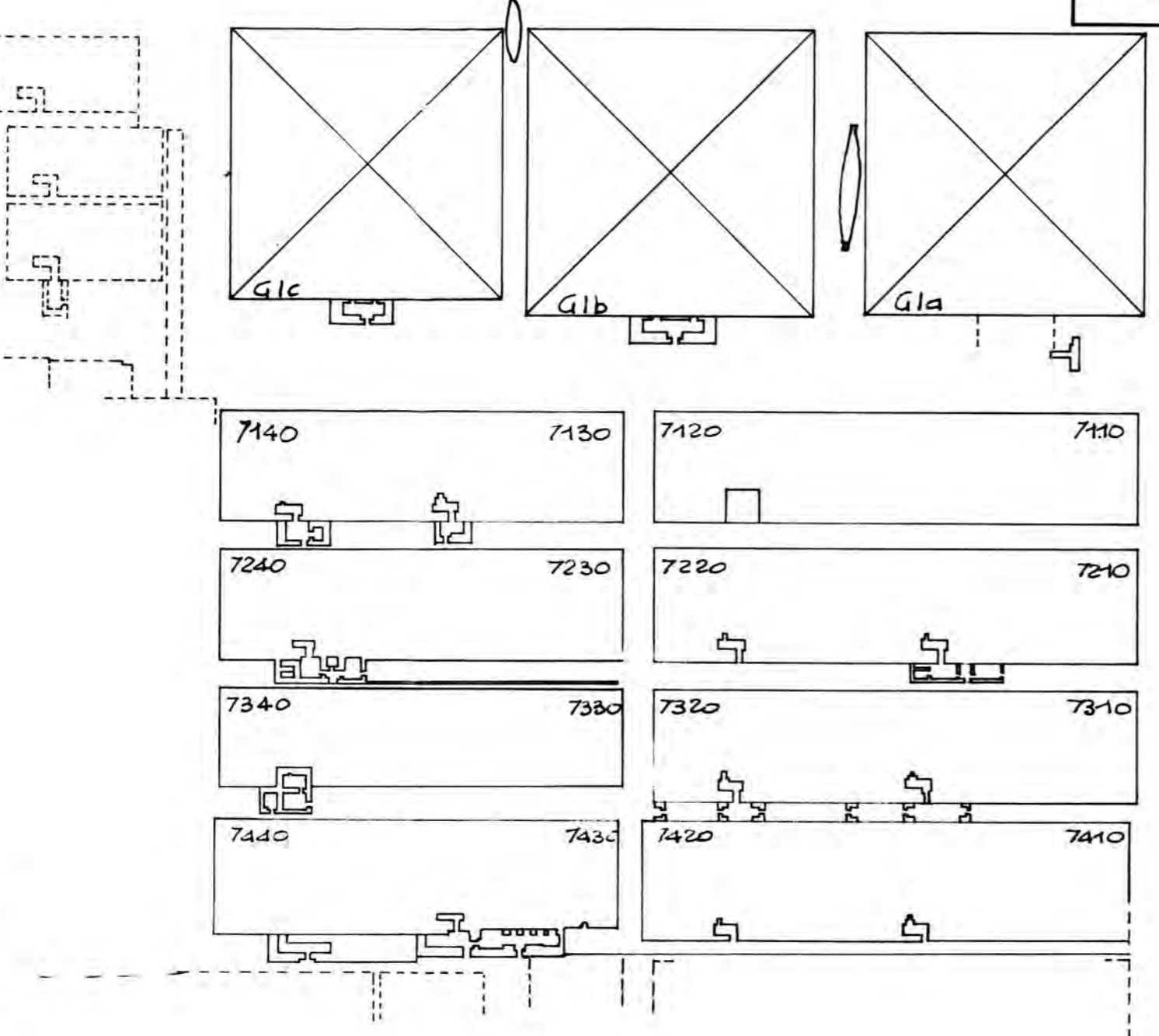
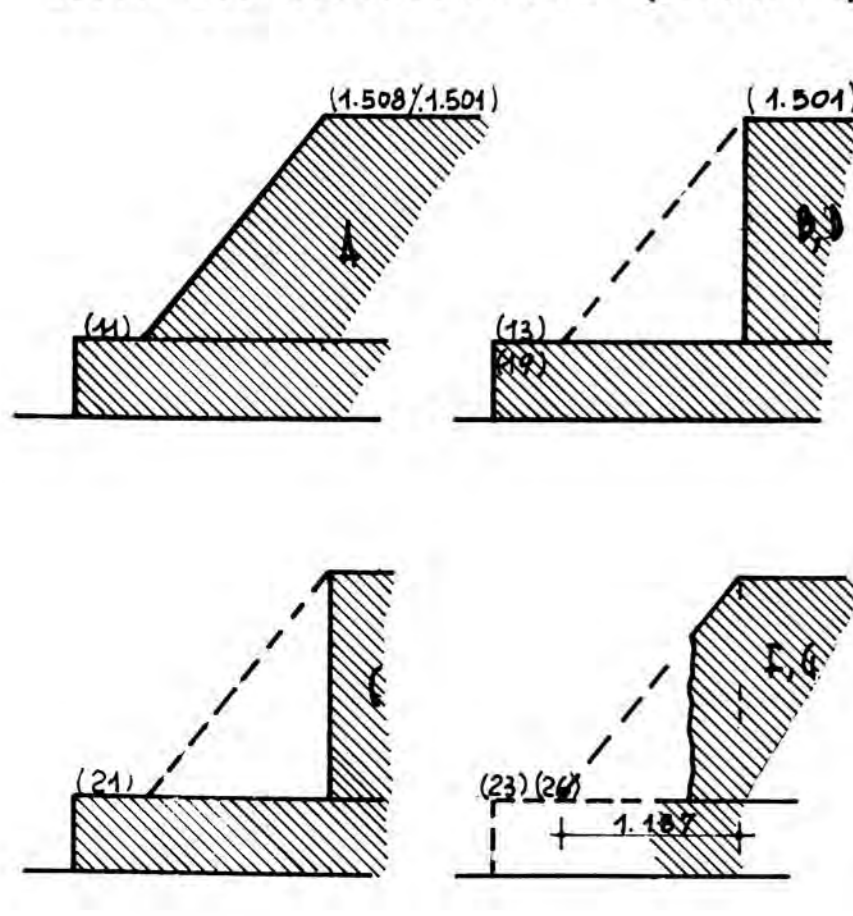


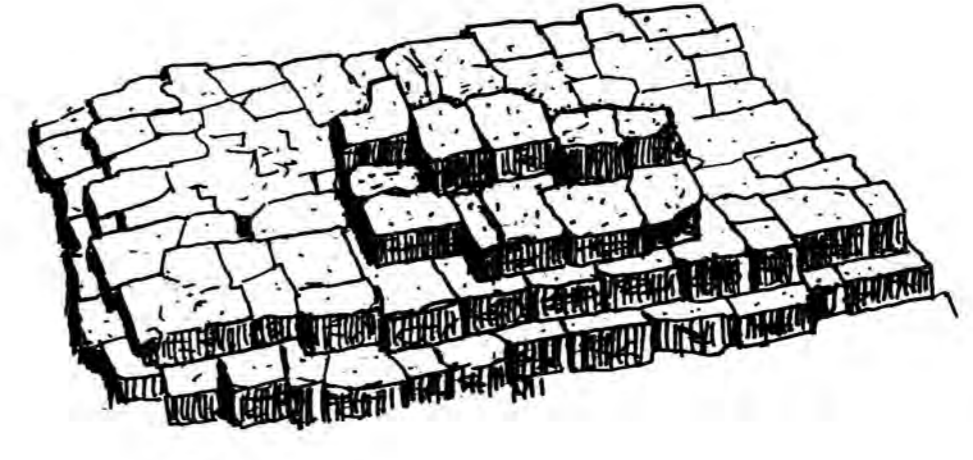
fig. 3 ALLINEAMENTI DI FOSSE LUNGO LA BASE DELLA PIRAMIDE

fig. 12 RESTI DEL RIVESTIMENTO (A.S.A.E. XIV)



La posizione di questi punti è indicata in fig. 1

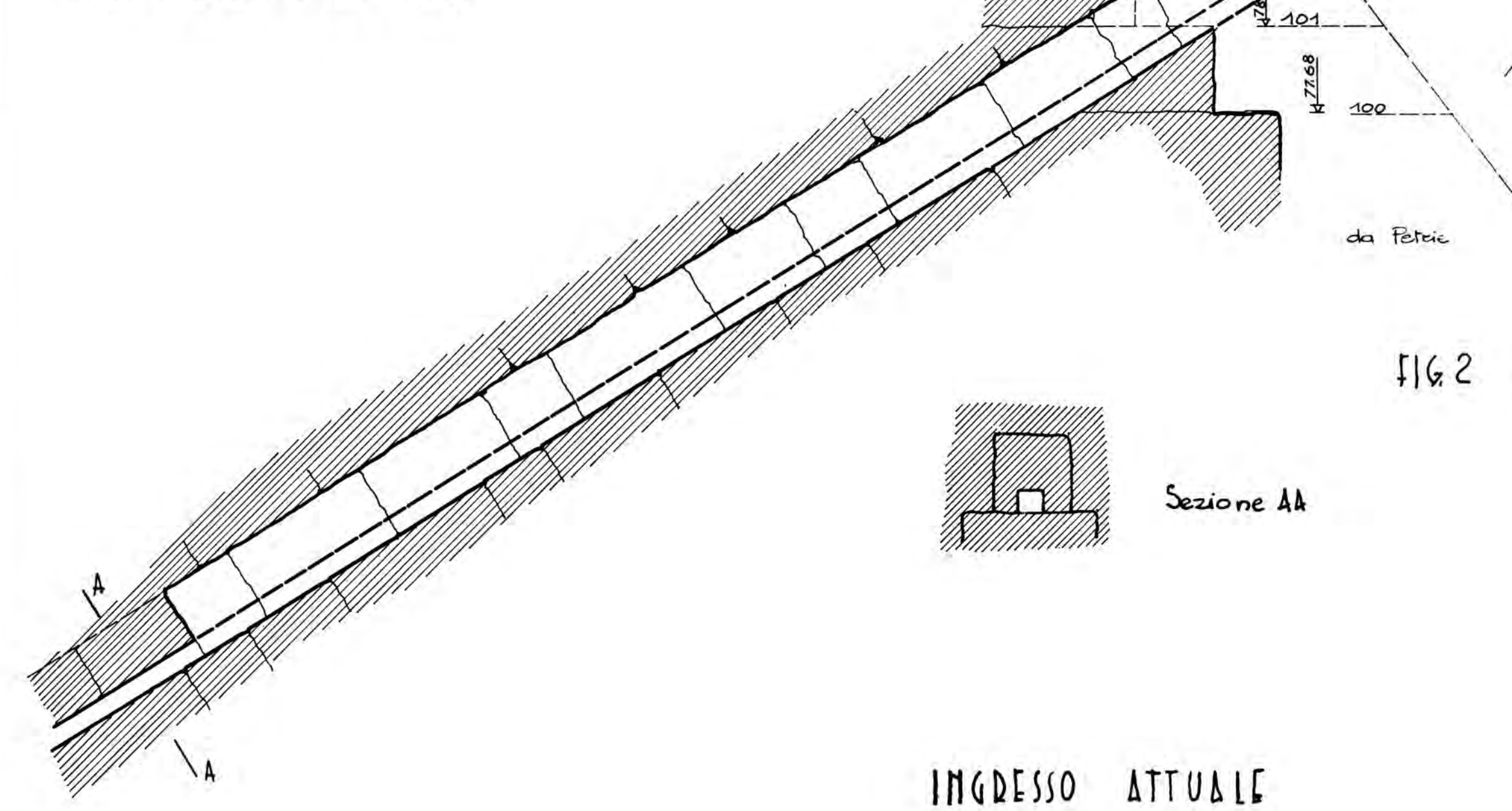
APICE DELLA PIRAMIDE (da una fotografia)



PARTICOLARI

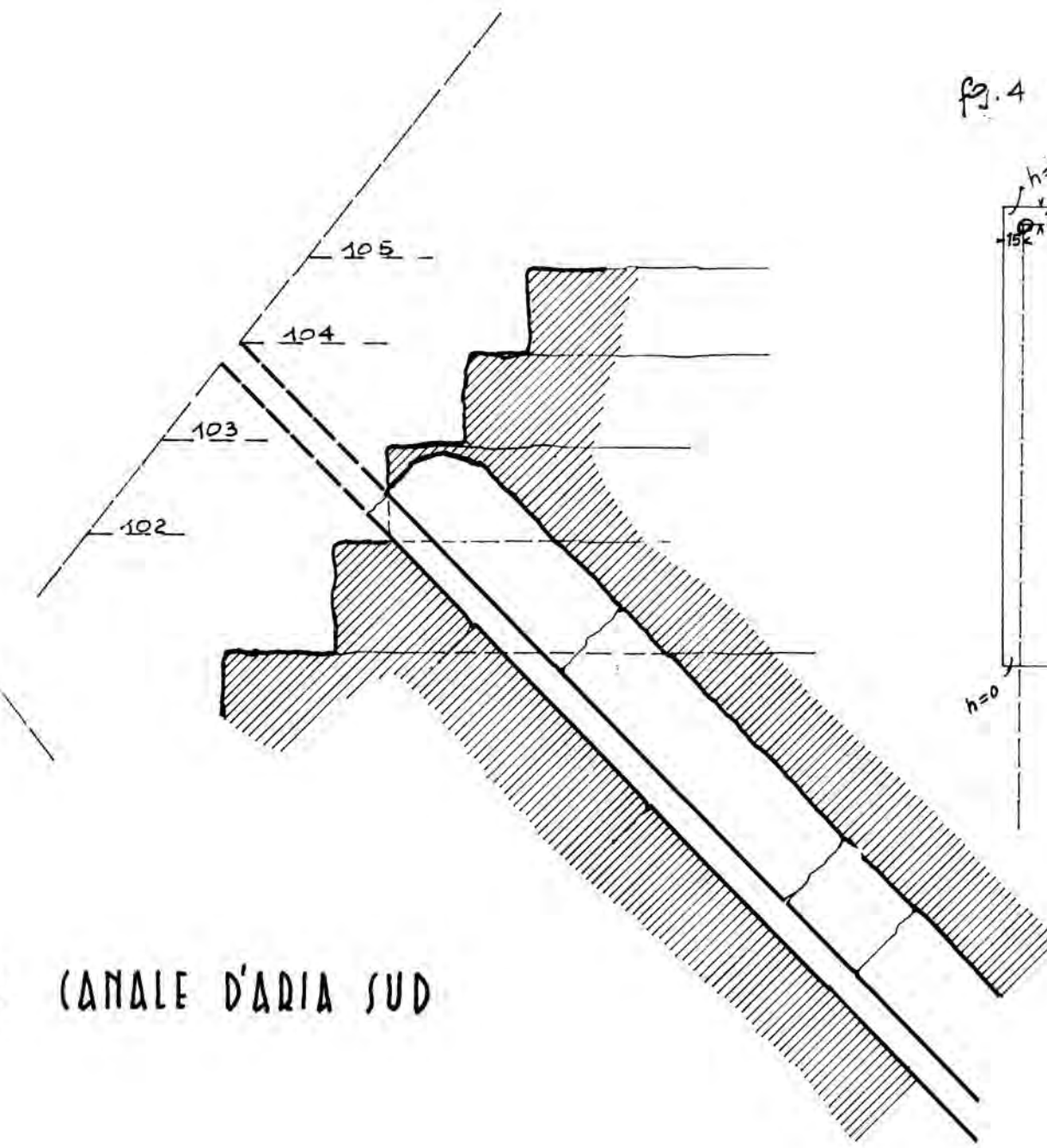
per le figure 1, 2, 4, 5, 6, 7, 8, 9, 10, 12, 13, 14, 15, 16

FIG. 1 CANALE D'ARIA MOD



INGRESSO ATTUALE

FIG. 2 CANALE D'ARIA SUD



Sezione AA

fig. 4 Angolo SW

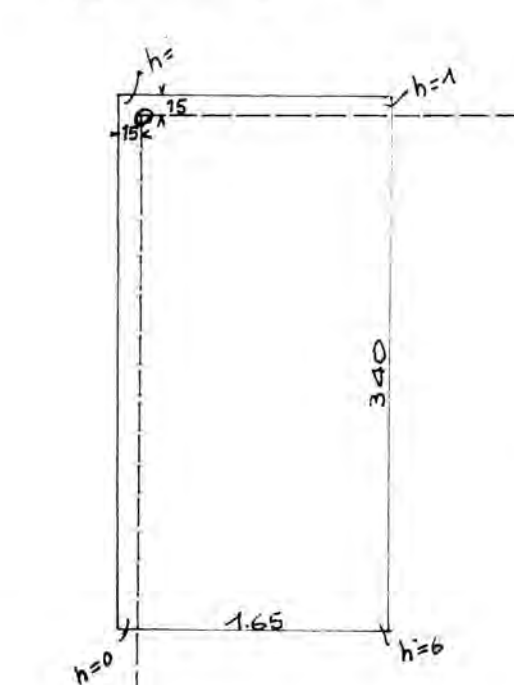


fig. 7 Angolo NW

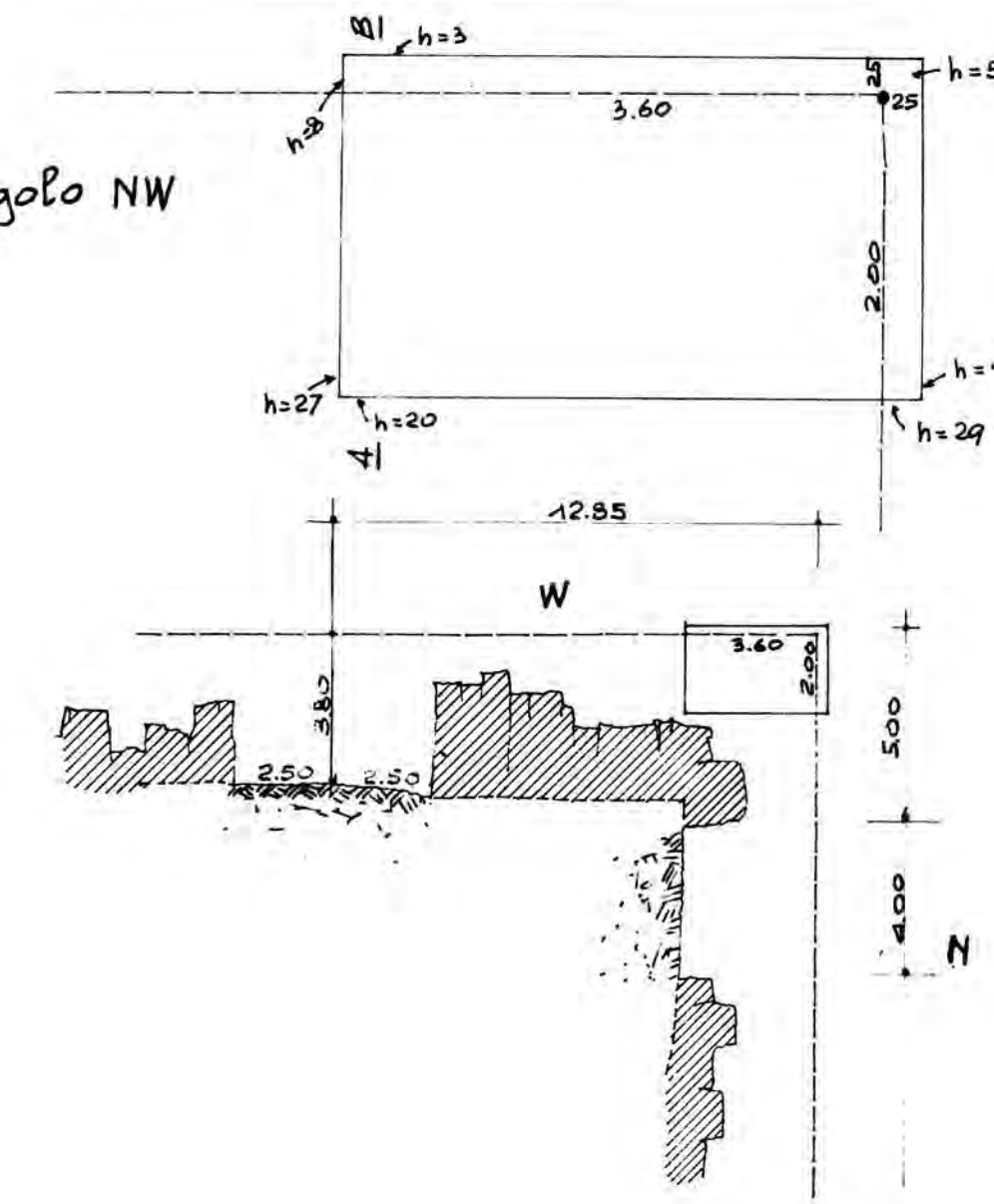


FIG. 3 SOCKETS ripinti agli angoli dello zoccolo quale determinato da Cole

Nota: i chiodi di Cole agli angoli NE e NW sono sempre in sito a SW fu ammesso il foro che lo conteneva a SE non ne resta traccia

fig. 5 Angolo SE

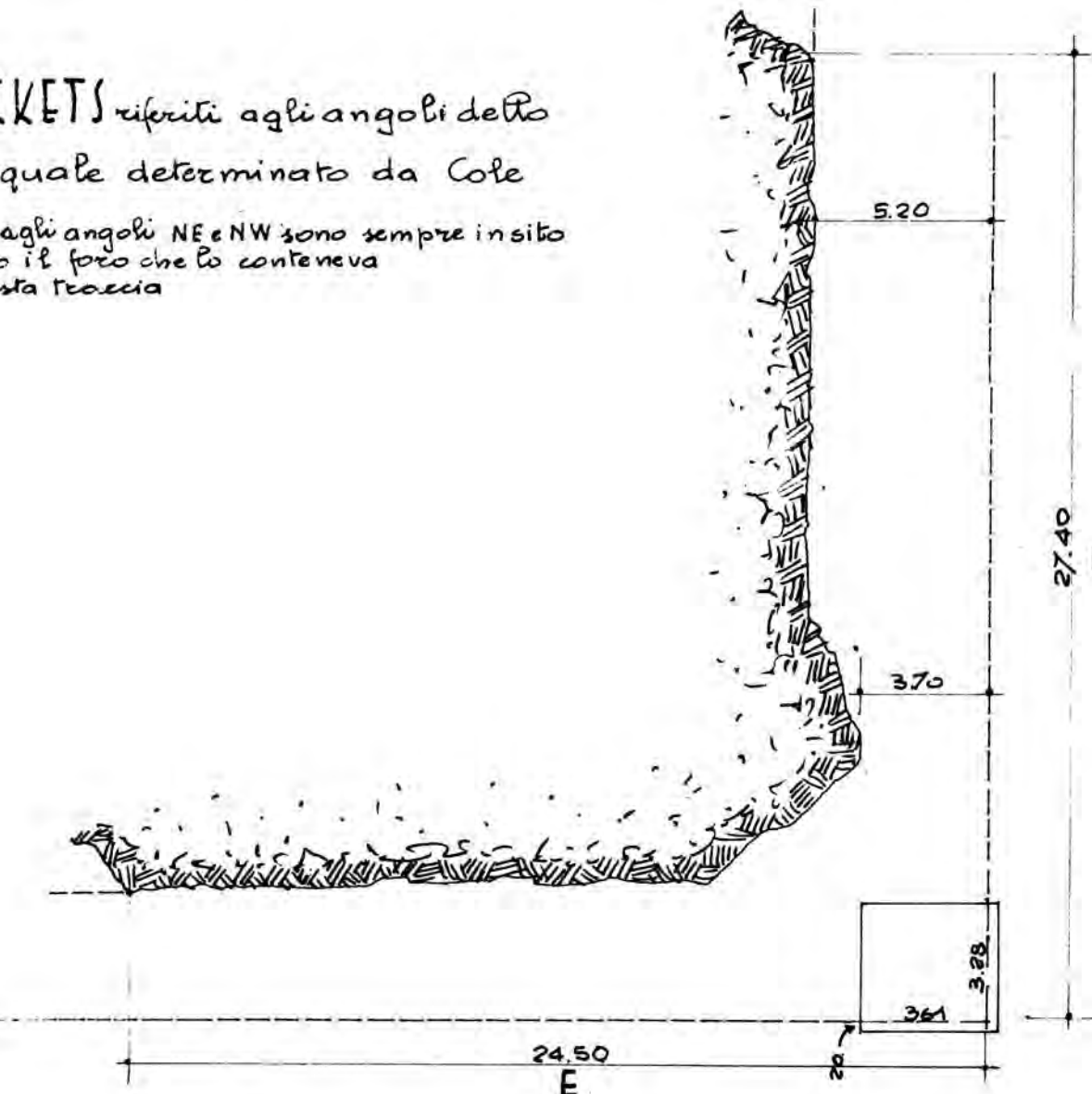
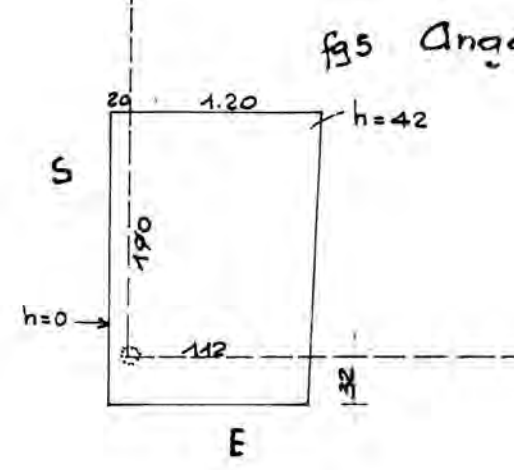


fig. 6 Angolo NE

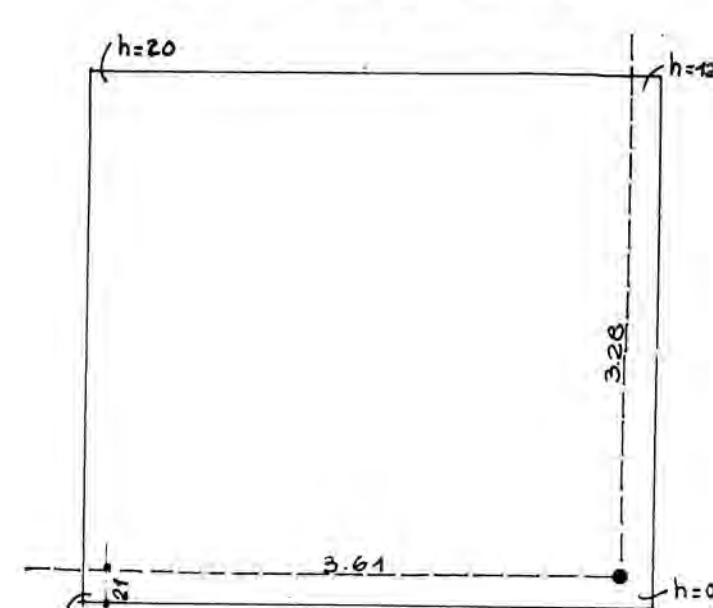


FIG. 8 VISTA

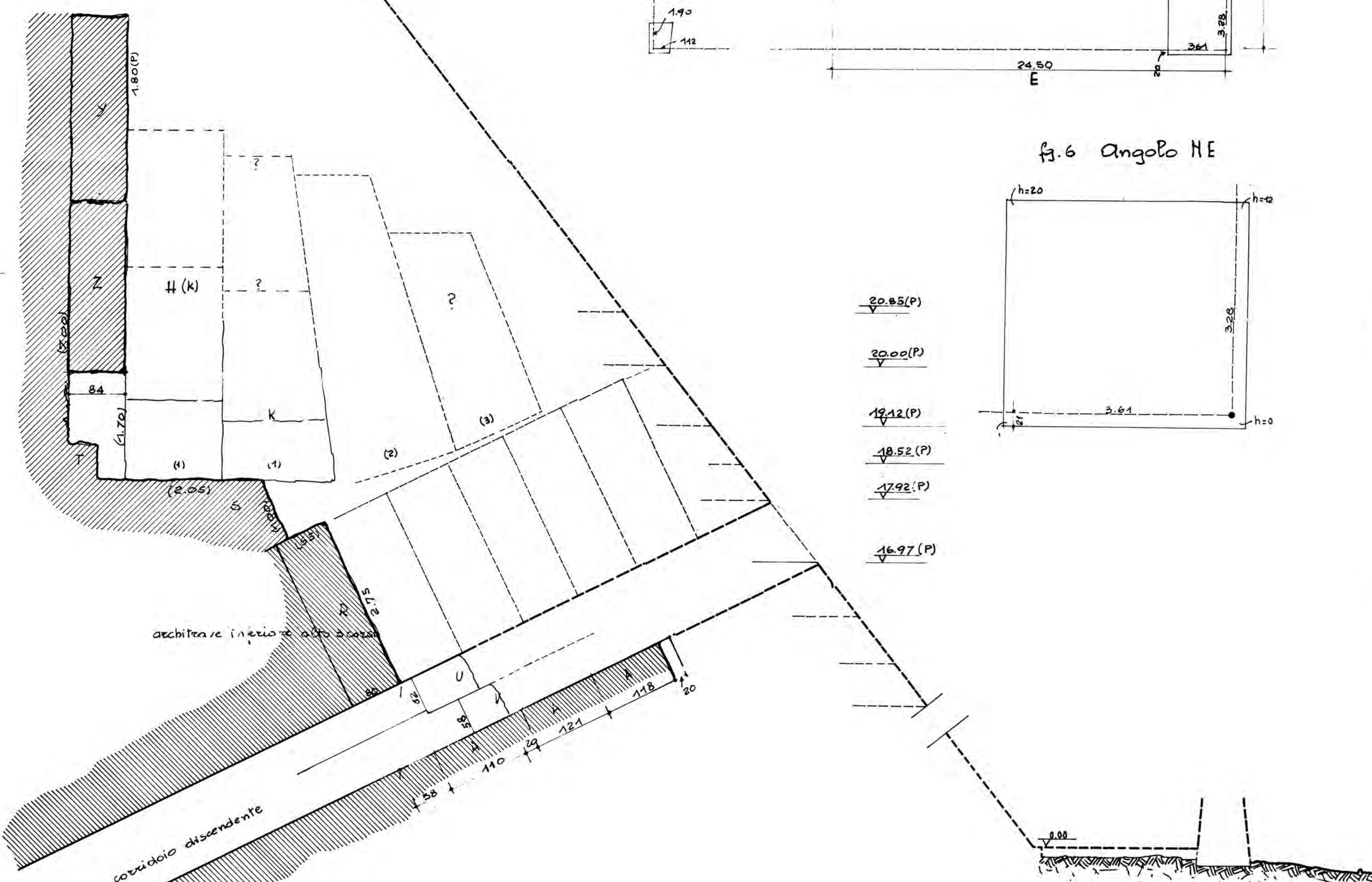
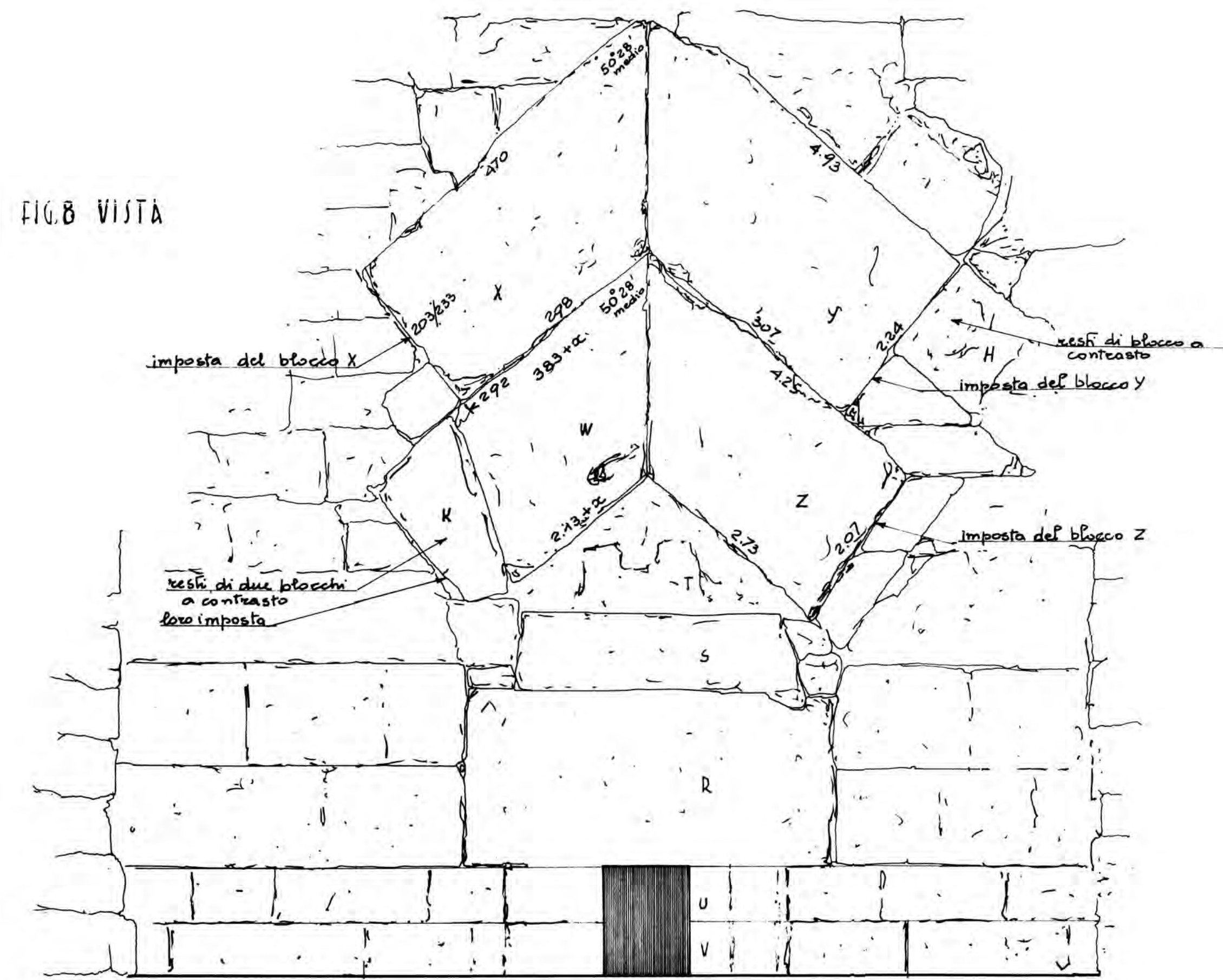


FIG. 10 SEZIONE MEDIANA

I resti di blocchi in H e K danno per certo che in (3) c'era ancora un doppio strato di blocchi a contrasto. In (2) lo spazio non permetteva forse che un solo strato. E' probabile che anche in (3) fosse uno strato di blocchi a contrasto.

Tenere presente la differenza di scala fra le figure 10 e 11

FIG. 11 PIEDE DELLA PIRAMIDE

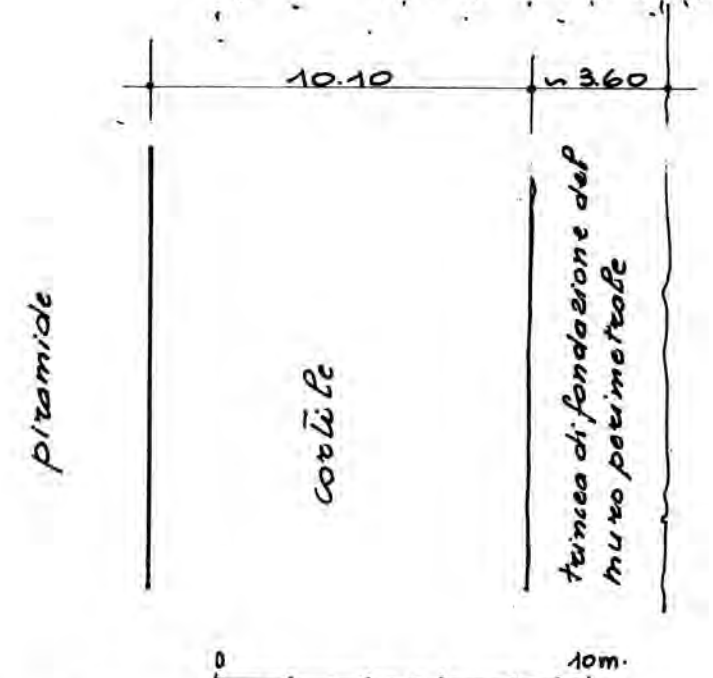
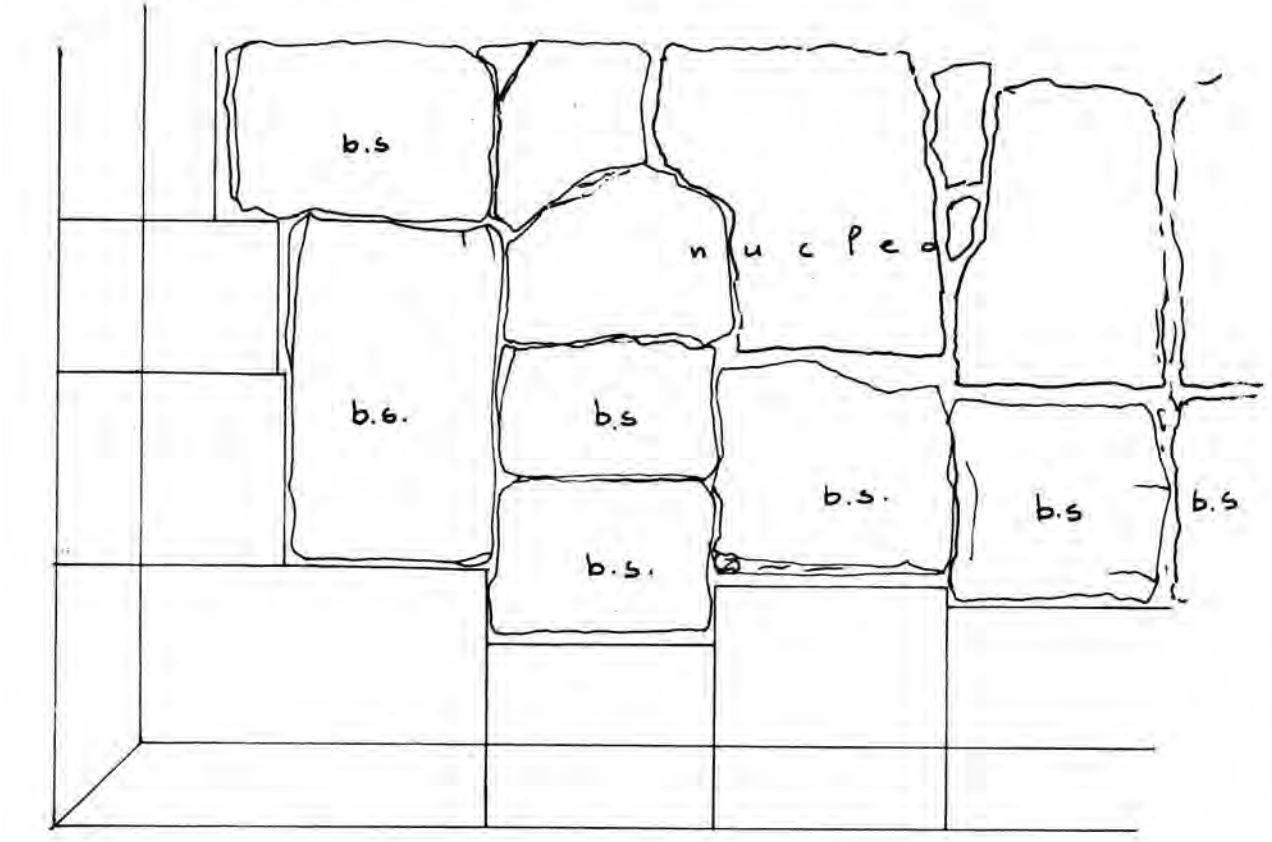
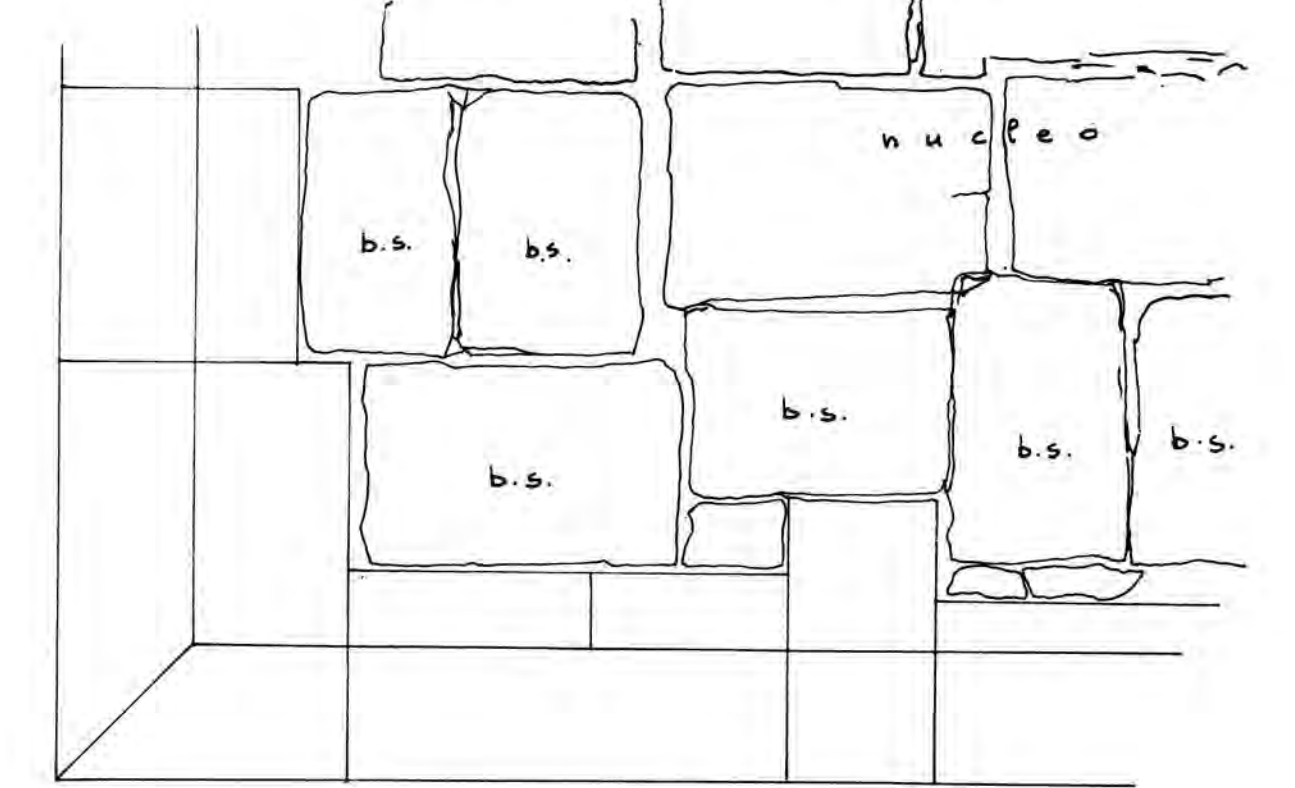


FIG. 12-13 SCHEMA DELLA DISTRIBUZIONE DEI BLOCCHI IN DUE CORSI SUCCESSIVI



Corso x

Nota: il nucleo può anche essere di roccia



Corso x-1

RICOSTRUZIONE DEI SOCKETS

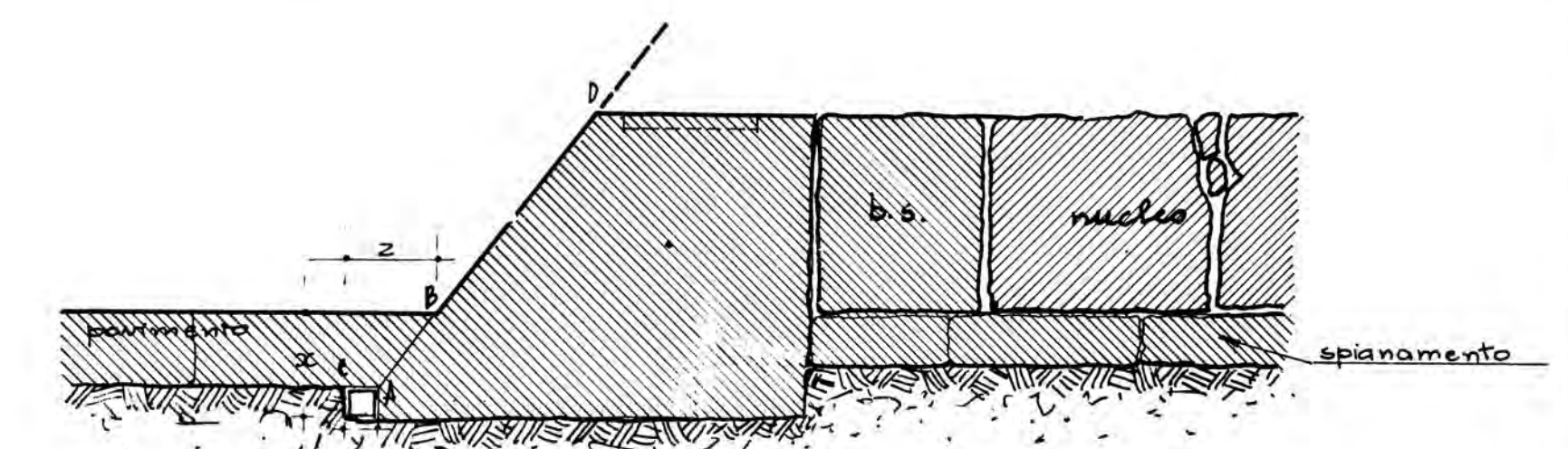


Fig. 14 Sezione AB secondo Petrie

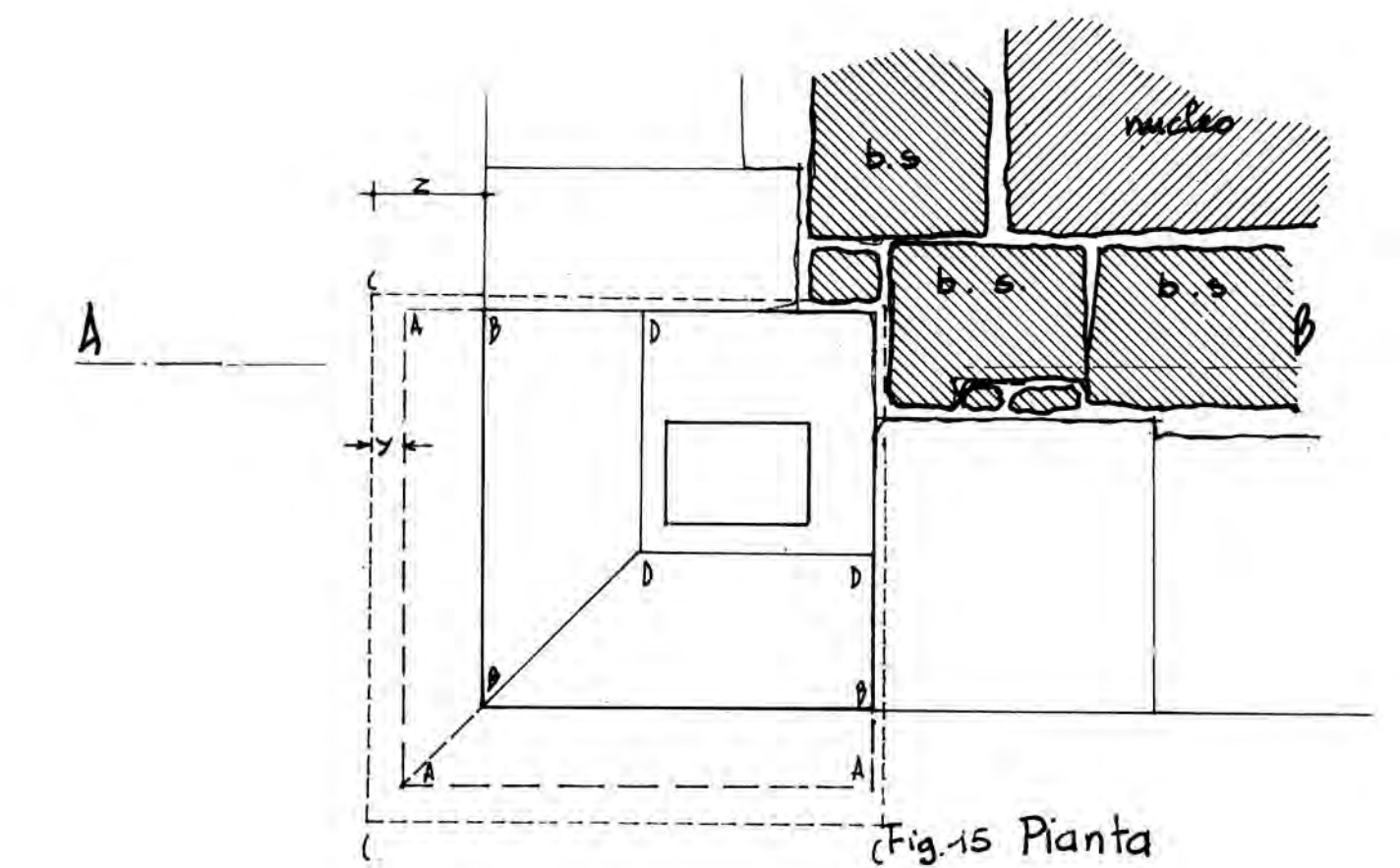


Fig. 15 Pianta

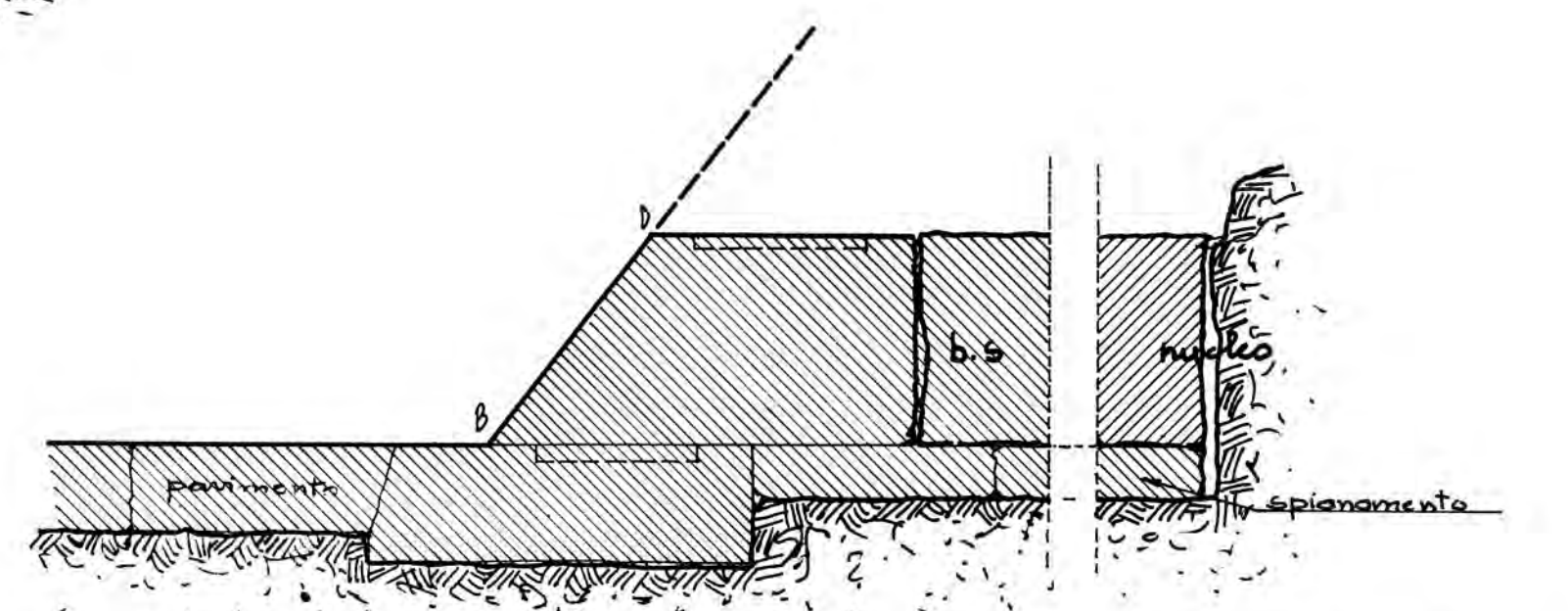


Fig. 16 Sezione AB secondo Borchardt (recoia)

Vito Marangoli

